



CAP-F

Сопловый диффузор

Описание

CAP-F – это сопловый диффузор для подвесных потолков с мини-камерой статического давления, который идеально подходит для подачи воздуха в офисные помещения, магазины, поликлиники и т.д.

Основные характеристики

Универсальное регулирование воздушного потока на 1-2-3-4 стороны;

Отличное смешивание воздуха даже при небольших расходах, что подходит для VAV- вентиляции;

Большая пропускная способность диффузора, при этом сохраняется низкий уровень шума и умеренный перепад давления; Компактная конструкция.

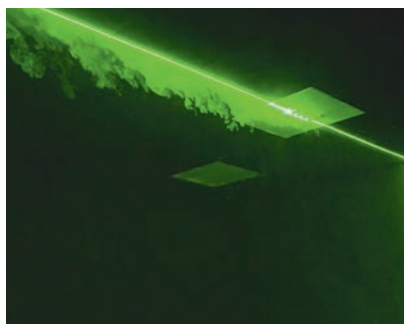
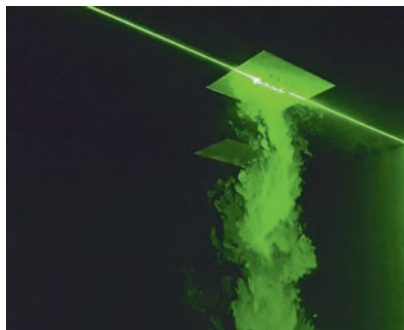


Рис.1 Визуализация воздушного потока

Конструкция



Рис.2 Конструкция CAP-F

Конструкция

Диффузор CAP-F из оцинкованной стали представляет собой мини-камеру статического давления (высота подъема 40 мм) с патрубком с резиновым уплотнением и лицевую панель с множеством поворотных дисков (сопел). Сопла можно вращать

на 360° в любом направлении. Соответствующие направления данных сопел позволяет генерировать воздушный поток в любом направлении – на одну, две, три, четыре стороны или вертикально вниз. Диффузоры подходят для кассетного потолка 600x600 мм.

Элементы конструкции CAP-F

- 1 Мини-камера статического давления
- 2 Патрубок с резиновым уплотнителем
- 3 Пружинные зажимы для крепления лицевой панели (внутри корпуса)
- 4 Лицевая панель
- 5 Сопла
- 6 Страховочный тросик (внутри корпуса)

Табл. 1 Размеры CAP-F

| Название | W | øD (мм) | H _z | m (кг) |
|-------------------|-----|------------|----------------|-----------|
| | | | | |
| CAP-F-160-600-25* | 595 | 159 | 244 | 4.68 |
| CAP-F-200-600-36* | 595 | 199 | 279 | 4.56 |
| CAP-F-250-600-49* | 595 | 249 | 334 | 4.40 |
| CAP-F-315-600-81* | 595 | 314 | 384 | 4.01 |
| CAP-F-400-600-81* | 595 | 399 | 485 | 4.02 |

NOTE: * Количество поворотных дисков

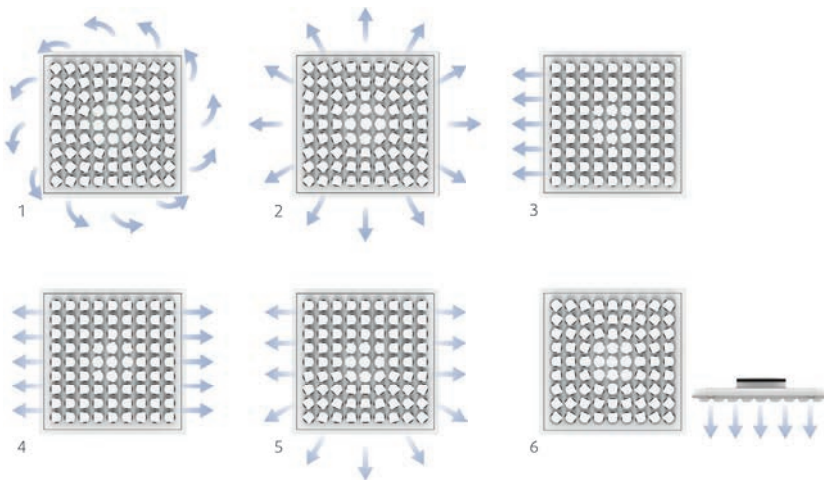


Рис. 3 Регулирование картины распределения при помощи поворотных дисков

- 1 Тангенциальное горизонтальное вихревое распределение
- 2 Радиальный горизонтальный воздушный поток во все стороны
- 3 Горизонтальное распределение в 1 сторону
- 4 Горизонтальное распределение в 2 стороны
- 5 Горизонтальное распределение в 3 стороны
- 6 Вертикальное распределение

Типоразмеры

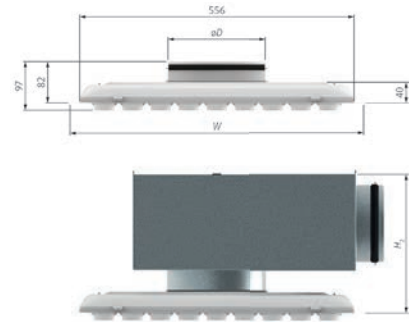


Рис. 4 Размеры CAP-F

Код заказа

| | | | | |
|-------|----------------------|-------|--------------------------|--------------------------|
| | | CAP-F | <input type="checkbox"/> | <input type="checkbox"/> |
| | | 100 | | |
| | | 125 | | |
| | | 160 | | |
| | | 200 | | |
| | | 250 | | |
| | | 315 | | |
| Вход | DN ₁ (мм) | | | |
| | | 125 | | |
| | | 160 | | |
| | | 200 | | |
| | | 250 | | |
| | | 315 | | |
| | | 400 | | |
| Выход | DN ₂ (мм) | | | |
| | | 125 | | |
| | | 160 | | |
| | | 200 | | |
| | | 250 | | |
| | | 315 | | |
| | | 400 | | |
| Цвет | RAL9003 | SW | | |

Дополнительные принадлежности

THOR

Камера статического давления



Описание

Камера статического давления THOR применяется совместно с диффузорами для снижения давления, выравнивания воздушного потока, а также для измерения и регулирования воздушного потока. Камера может использоваться как на приток, так и на вытяжку.

Конструкция

Камера статического давления THOR изготовлена из оцинкованной стали. Соединительные патрубки оснащены резиновым уплотнителем, проверенным на герметичность.

Быстрый подбор

| Тип | Расход воздуха q _v при разных уровнях звукового давления L _{WA} | | | | | |
|------------------|---|-----|-------|-----|-------|-----|
| | 25 дБ | | 30 дБ | | 35 дБ | |
| | м³/ч | л/с | м³/ч | л/с | м³/ч | л/с |
| CAP-F-125-...-16 | 73 | 20 | 92 | 26 | 110 | 31 |
| CAP-F-160-...-25 | 103 | 29 | 136 | 38 | 168 | 47 |
| CAP-F-200-...-36 | 159 | 44 | 203 | 56 | 245 | 68 |
| CAP-F-250-...-49 | 237 | 66 | 286 | 79 | 338 | 94 |
| CAP-F-315-...-81 | 332 | 92 | 417 | 116 | 497 | 138 |
| CAP-F-400-...-81 | 468 | 130 | 585 | 163 | 694 | 193 |

ПРИМЕЧАНИЕ: рабочие точки измерены с камерой статического давления THOR и открытым демпфером

Технические параметры

| | | |
|------------------|----------|---|
| p _s | Pa | Перепад давления |
| q _v | м³/ч л/с | Расход воздуха |
| L _{WA} | дБ(А) | А-взвешенный уровень звуковой мощности |
| L _{PA} | дБ(А) | А-взвешенный уровень звукового давления рассчитанный на 10 м² эфф. фективной площади поглощения |
| L _w | дБ | Невзвешенный уровень звуковой мощности |
| L _{0,2} | м | Дальнобойность воздушной струи при конечной скорости 0,2 м/с |
| L _x | м | Дальнобойность воздушной струи при конечной скорости x м/с |
| x | м/с | Конечная скорость от 0,1 м/с ... 1 м/с |

20%, 40%, 60%, 80%, 100%

Положения заслонки в камере давления на диаграммах Падения давления / уровни шума показаны в процентах. 20% соответствует полностью закрытой заслонке. 100% соответствует полностью открытой заслонке.

Расчет расхода воздуха для разных конечных скоростей

$$L_x = L_{0,2} \cdot 0,2/x$$

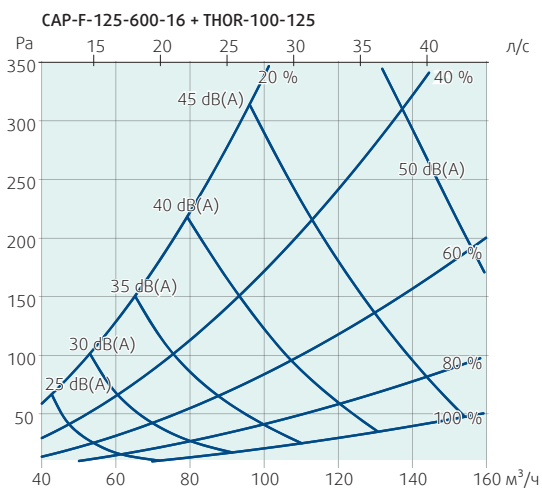


Диаграмма 1: Перепад давлений & A-взвешенный уровень звуковой мощности, с камерой стат. давления THOR

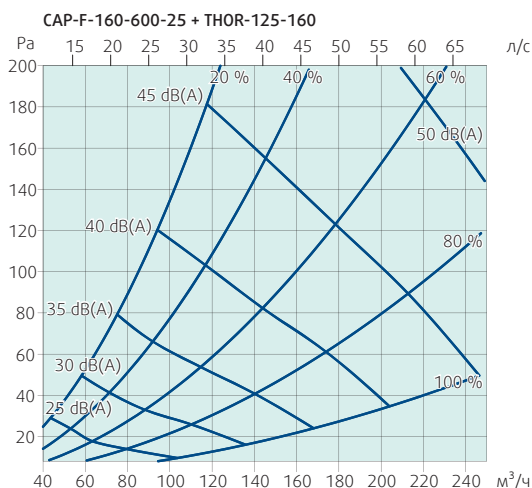


Диаграмма 3: Перепад давлений & A-взвешенный уровень звуковой мощности, с камерой стат. давления THOR

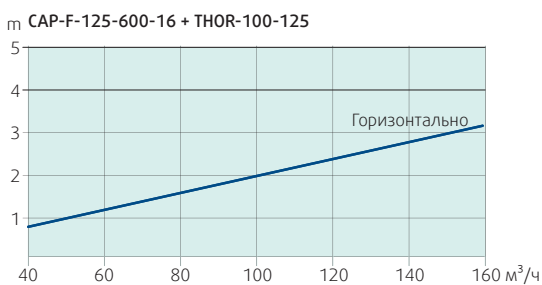


Диаграмма 2: Дальность изотермической струи (горизонтальная подача воздуха) при конечной скорости 0,2 м/с

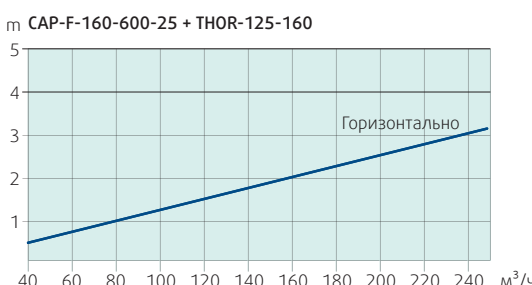


Диаграмма 4: Дальность изотермической струи (горизонтальная подача воздуха) при конечной скорости 0,2 м/с

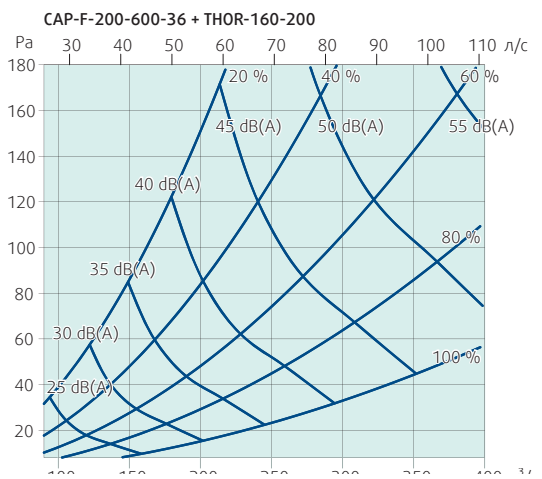


Диаграмма 5: Перепад давлений & A-взвешенный уровень звуковой мощности, с камерой стат. давления THOR

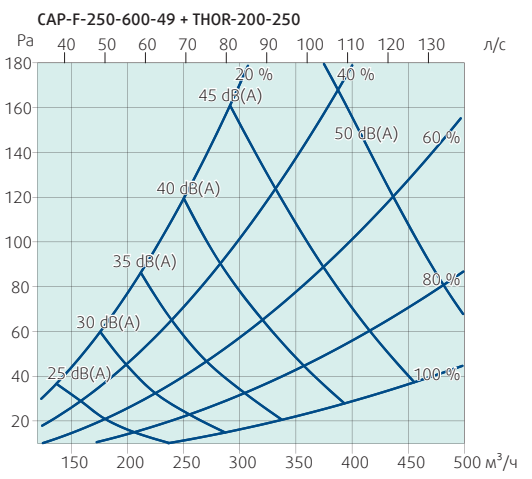


Диаграмма 7: Перепад давлений & A-взвешенный уровень звуковой мощности, с камерой стат. давления THOR

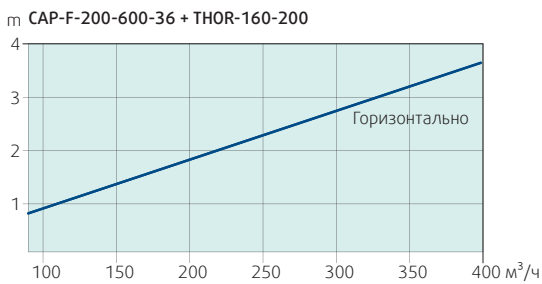


Диаграмма 6: Дальность изотермической струи (горизонтальная подача воздуха) при конечной скорости 0,2 м/с

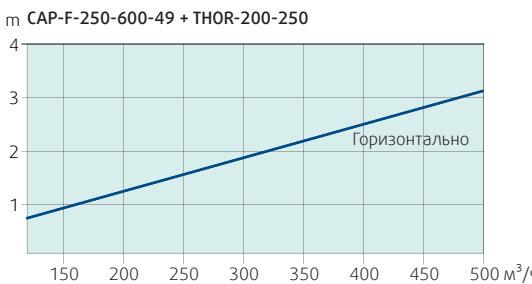


Диаграмма 8: Дальность изотермической струи (горизонтальная подача воздуха) при конечной скорости 0,2 м/с

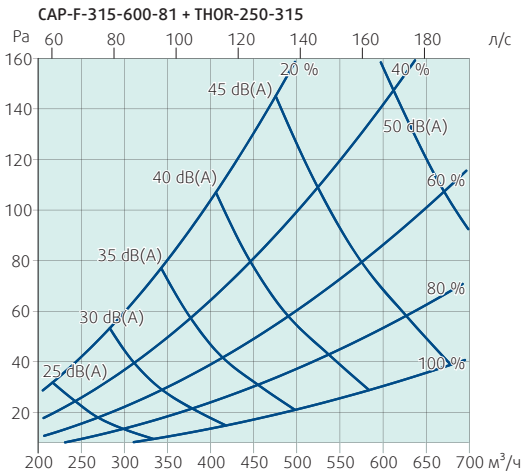


Диаграмма 9: Перепад давлений & A-взвешенный уровень звуковой мощности, с камерой стат. давления THOR

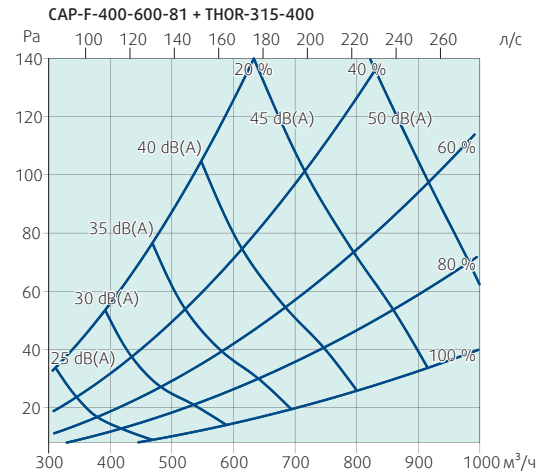


Диаграмма 11: Перепад давлений & A-взвешенный уровень звуковой мощности, с камерой стат. давления THOR

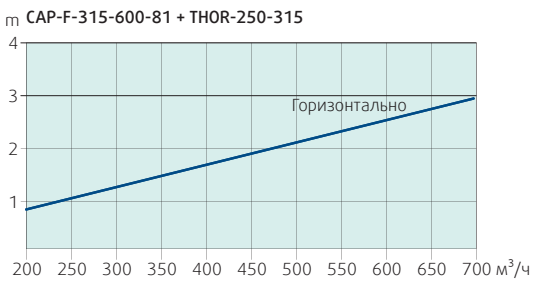


Диаграмма 10: Дальность брейт изотермической струи (горизонтальная подача воздуха) при конечной скорости 0,2 м/с

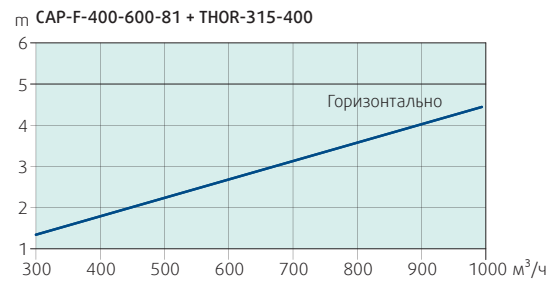


Диаграмма 12: Дальность брейт изотермической струи (горизонтальная подача воздуха) при конечной скорости 0,2 м/с

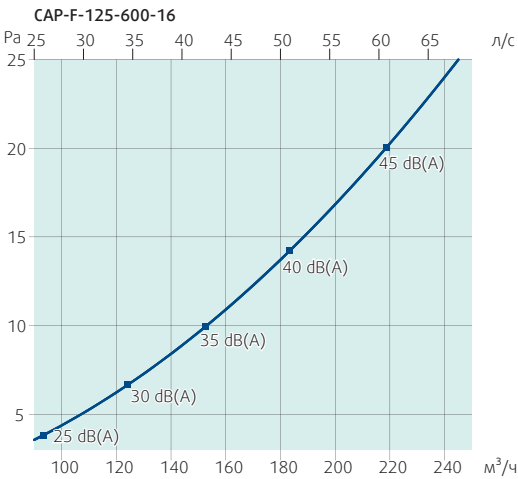


Диаграмма 13: Перепад давлений & A-взвешенный уровень звуковой мощности, с камерой стат. давления THOR

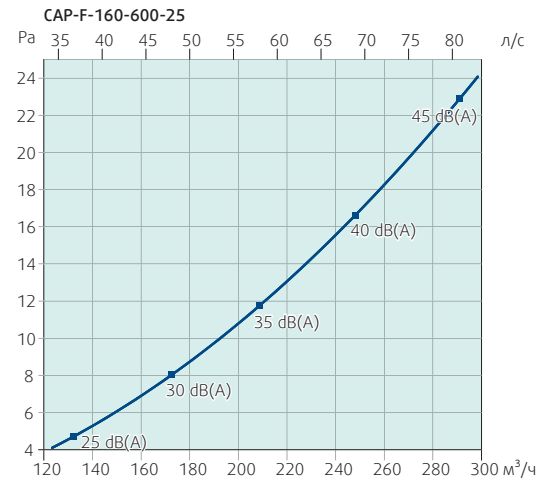


Диаграмма 15: Перепад давлений & A-взвешенный уровень звуковой мощности, с камерой стат. давления THOR

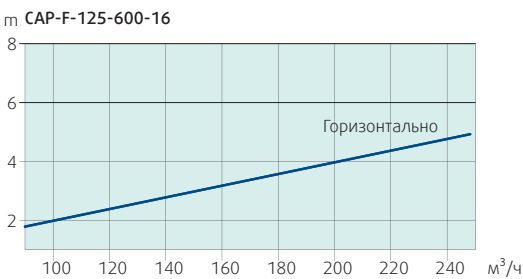


Диаграмма 14: Дальность брейт изотермической струи (горизонтальная подача воздуха) при конечной скорости 0,2 м/с

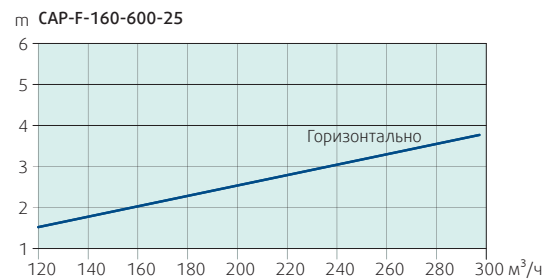


Диаграмма 16: Дальность брейт изотермической струи (горизонтальная подача воздуха) при конечной скорости 0,2 м/с

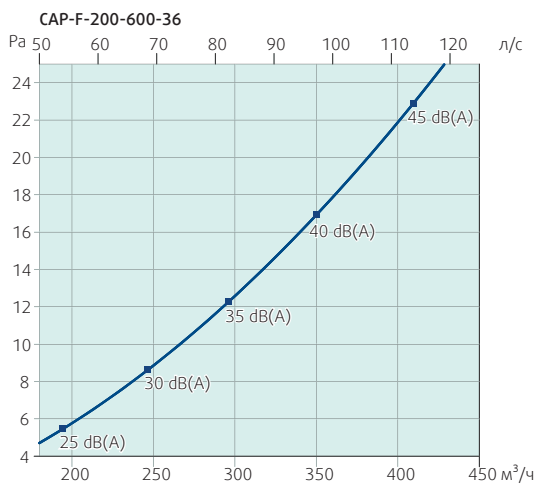


Диаграмма 17: Перепад давлений & A-взвешенный уровень звуковой мощности, с камерой стат. давления THOR

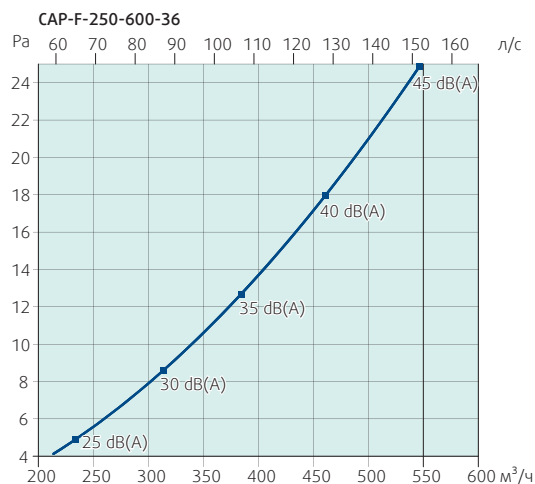


Диаграмма 19: Перепад давлений & A-взвешенный уровень звуковой мощности, с камерой стат. давления THOR

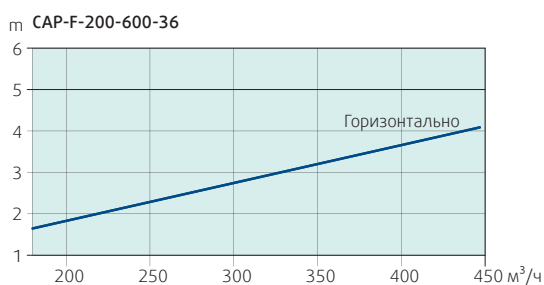


Диаграмма 18: Дальность изотермической струи (горизонтальная подача воздуха) при конечной скорости 0,2 м/с

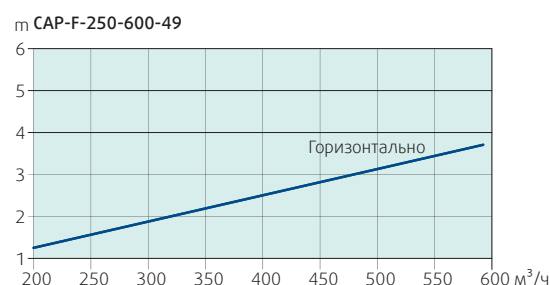


Диаграмма 20: Дальность изотермической струи (горизонтальная подача воздуха) при конечной скорости 0,2 м/с

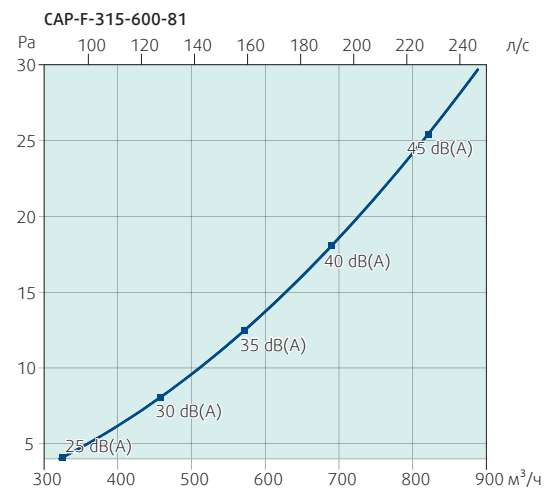


Диаграмма 21: Перепад давлений & A-взвешенный уровень звуковой мощности, с камерой стат. давления THOR

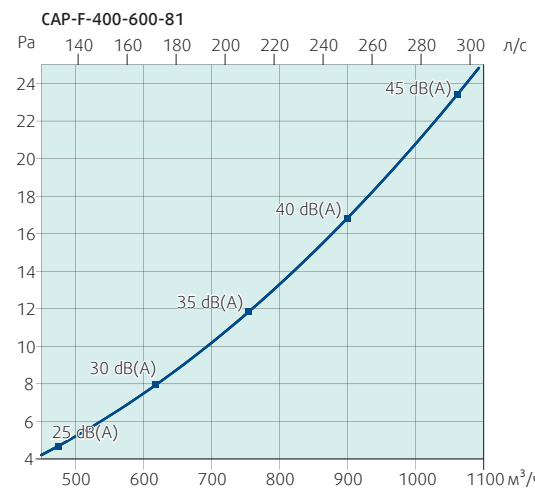


Диаграмма 23: Перепад давлений & A-взвешенный уровень звуковой мощности, с камерой стат. давления THOR

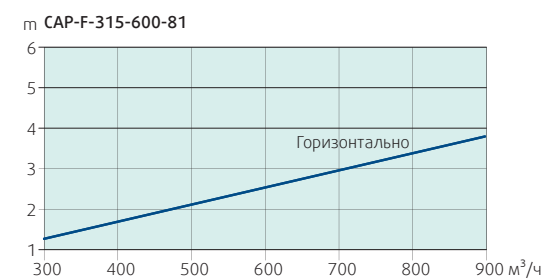


Диаграмма 22: Дальность изотермической струи (горизонтальная подача воздуха) при конечной скорости 0,2 м/с

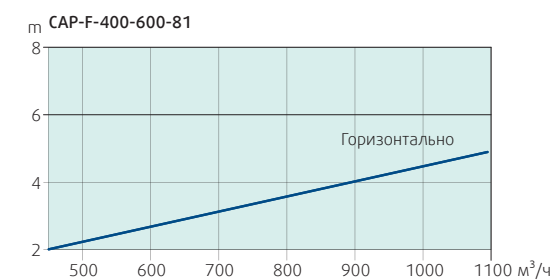


Диаграмма 24: Дальность изотермической струи (горизонтальная подача воздуха) при конечной скорости 0,2 м/с